

編號 96

航空科学技术文献譯丛

# 机翼及机身的 跨音速空气动力学



1960年9月

北 京

## 目 录

摘要	( 1 )
引言	( 1 )
跨音速气流理論的基本方程式	( 2 )
跨音速气流理論方程式的某些基本性质	( 3 )
馬赫数在 $M_\infty = 1$ 时的冻结	( 4 )
相似定律	( 5 )
跨音速相当定律	( 7 )
跨音速面积定律	( 8 )
速端图方法	( 9 )
逐次近似法	( 11 )
积分方程式方法， $M_\infty < 1$	( 12 )
局部綴化方法	( 14 )
馬赫数为 1 时的風洞壁干扰	( 21 )
結論	( 25 )
参考文献	( 25 )

# 机翼及机身<sup>\*</sup>的跨音速空气动力学

J.R. 斯密特透

NASA 艾姆斯研究中心

## 摘要

本文总结了由无数实验及理论研究所得出的有关流经薄翼及细长物体的气流方面的基本概念及主要结果。全文的重点放在小扰动跨音速气流理论中各种非线性方程式近似解法的相互关系及计算上，同时也放在实验结果的分析上。

## 引言

虽然确定跨音速时机翼和机身空气动力性能的方法想像起来并不比亚音速或超音速情况更难，但对实验及理论工作者来说，获得跨音速气流的解答还是很困难的。例如，有许多气流的实验数据在接近于马赫数1时便中断，许多理论结果甚至在最普遍的情况下也不符合于实验观察。这说明了求解跨音速气流的困难。

大约在十年前由于两方面的进展：洞壁部分开口的跨音速风洞及跨音速气流的小扰动理论，上述困难情况开始得到改善。但当需要高度精确地求解各种类型的物体时，仍旧会遇到困难。风洞虽可随着物体的形状而变，然而最近的发展指出，风洞壁的干扰效应要比所假设的大得多，并且很难用试验较小模型的方法来消除。另一方面，跨音速气流理论看来虽能给出很圆满的解答，但其应用范围却受到限制，因为该理论要求解出混合椭圆型及双曲线型的非线性偏微分方程式，而这些方面的数学理论目前还处于原始状态。由于这第二个困难，这个理论的大多数解答直到最近才用速端图法(Hodograph Method)求出，并只限于楔形及平板翼型的二元气流。

然而，最近发现了求解跨音速气流理论非线性方程式近似值的新方法，它们可以为许多平的或曲线边界的二元及三元物体计算理论值。这些数值能很好地符合前述用速端图方法所得出的理论结果，同时也符合用小模型在跨音速风洞中所得出的实验结果。

在仔细地比较了理论与实验结果后，已经发现，风洞壁的干扰效应要比预计的大得多，特别是当马赫数接近于1时；同时也发现，在某些情况下为了得到可应用的数据，必须采用非常小的模型。虽然干扰效应的全面情况还有待于进一步了解，但是基于跨音速气流理论的初步分析还是提供了这种干扰效应的主要特性。这些研究的一个有趣的结论是：老式的实心壁亚音速风洞可以可靠地用来获得自由流马赫数为1的气流的数据。

本文的目的是扼要地叙述跨音速气流理论的基本概念，并讨论一些较有用的结果。在多数情况下，这些结果都与用实验或更精确的理论所得出的相应结果作了比较。

\* 机身是指长度大于宽度及高度的各种物体，在航空上它可以是机身、弹身、外挂油箱等——译者。

## 跨音速气流理論的基本方程式

奧斯华铁許(Oswatitsch)和威哈脱(Wieghardt)、布塞曼(Busemann)和古得来(Guderley)、馮·卡門(von Kármán)以及其他人(見參考文献1—6)所提出的跨音速气流的小扰动理論，原来是作为一种当自由流馬赫数非常接近于1时的气流的一級近似方法的。它已發展为亞音速、跨音速以及超音速气流的联合理論，并且到目前为止，它是在整个速度范围内，能对薄翼及細長物体给出可靠結果的最簡單理論。这一理論的基本方程式曾被写成許多稍有区别的形式[7, 8]。其中具有特殊价值的一种形式列在下面。

令自由流的速度及馬赫数分别为 $U_\infty$ 及 $M_\infty$ ，引入笛卡尔座标系，使其x軸与自由流方向平行，并以u, v 及 w 分別表示平行于x, y 及 z 軸的扰动速度分量。扰动速度分量是能满足下列非綫性偏微分方程式的扰动位 $\varphi$ 的梯度：

$$(1-M_\infty^2)\varphi_{xx} + \varphi_{yy} + \varphi_{zz} = M_\infty^2[(\gamma+1)/U_\infty]\varphi_x\varphi_{xx} = k\varphi_x\varphi_{xx} \quad (1)$$

可以看出，此式与浦朗陀—葛劳渥(Prandtl-Glauert)的綫性压缩性气流方程式的差別，只是在右边多了一个非綫性項。

因为激波是跨音速及超音速气流的固有特点，所以对于穿过激波的轉变，还須加上附加的关系。这些关系是： $\varphi$ 連續地穿越激波，而u, v 及 w 却是不連續的，紧接激波前后的u, v 及 w 之間的关系应能满足下列方程式：

$$(1-M_\infty^2)(u_a-u_b)^2 + (v_a-v_b)^2 + (w_a-w_b)^2 = M_\infty^2[(\gamma+1)/U_\infty][(u_a+u_b)/2](u_a-u_b)^2 \quad (2)$$

对应的綫性理論公式只是略去了右边項。

边界条件要求在物体的远前方 $\varphi$ 的梯度为零，并且气流与物体表面相切。在跨音速气流理論中，上述后面的条件按綫性理論中相同的方法简化。例如，对于座标为Z(x, y)的薄翼，简化关系式为

$$(w)_{z=0} = U_\infty(\partial Z / \partial x) \quad (3a)$$

对于流經軸向截面分布为S(x)的細長迴轉体的軸对称气流，简化关系为

$$(r\varphi_r)_{r=0} = (U_\infty/2\pi)(dS/dx) \quad (3b)$$

其中

$$r = (y^2 + z^2)^{\frac{1}{2}}.$$

联系压力系数 $C_p$ 与速度的关系式也像在綫性理論中那样地取近似形式。所以在研究繞薄翼的气流时，相当的压力表示式为

$$C_p = -2(\varphi_x/U_\infty) \quad (4a)$$

而在研究繞細長物体的軸对称气流时，压力表示式为

$$C_p = -2(\varphi_x/U_\infty) - (\varphi_r^2/U_\infty^2) \quad (4b)$$

还必须假定：当垂直于尖銳后緣的速度分量是亞音速时，必然可以应用庫塔条件(Kutta Condition)\*；此外，在超音速区域内，扰动的直接影响只限于下游方向。

有許多跨音速气流方面的研究是基于将系数 $M_\infty^2(\gamma+1)$ 换成 $\gamma+1$ 的方程式的。这里并不推荐这个方程式，因为当馬赫数不等于1时，就会出現很大的誤差(參看参考文献7及8)。但是将

\* 即后緣上的速度方向是切向的——譯者。

各种  $k$  值所推出的結果轉化到与跨音速气流理論相一致的結果，还是很容易的。在后面的討論中，除非加以特別的声明，在必要时这种轉化都已应用于所有理論結果。

### 跨音速气流理論方程式的某些基本性質

在研究了基本方程式的一些基本性質后，就可进一步了解跨音速小扰动理論中所采用的近似簡化的实质。方程式 (1) 的最基本性質，就是方程式类型取决于  $1 - M_\infty^2 - ku$  的符号：

$$1 - M_\infty^2 - ku \begin{cases} > 0, \text{ 橢圓型 (亞音速)} \\ < 0, \text{ 双曲綫型 (超音速)} \end{cases} \quad (5)$$

在压缩性气流的理論研究中，方程式的类型是很重要的，因为当速度是亞音速时，方程式应屬椭圓型，当速度是超音速时，则方程式应屬双曲綫型。

方程式 (1) 的第二个性質是：在流場中，特性面或馬赫錐的方向随不同的点而变化，但該面始終与  $x$  軸变成  $\mu$  角。 $\mu$  角由下列关系式决定：

$$\cot \mu = \sqrt{M_\infty^2 - 1 + ku} \quad (6)$$

在  $M_\infty^2 - 1 + ku$  大于零的区域內，特性面是实数的；但在  $M_\infty^2 - 1 + ku$  小于零的区域內，特性面則是虛数的。

跨音速气流理論方程式的第三个基本性質是：該方程式指出，在  $1 - M_\infty^2 - ku$  等于零的点上，任意无穷小的流管都呈現喉管。这个結果祇要在一元气流的假設下积分方程式 (1) 就可證明。这时得到

$$(1 - M_\infty^2 - ku)(du/U_\infty) = -(dA/A) \quad (7)$$

其中  $A$  表示流管的横截面积。

在認清量  $1 - M_\infty^2 - ku$  在一級近似上相当于  $1 - M^2$  (其中  $M$  为局部馬赫数) 后，上述三項性質的意义就很清楚。这也說明了为什么在跨音速气流的分析中經常出現量  $1 - M_\infty^2 - ku$ ，以及为什么它在小扰动理論中起着与更精确的压缩性气流理論中的  $1 - M^2$  相同的作用。

上述跨音速气流理論非綫性方程式的性質，正好与压缩性气流綫化方程式的对应性質相反。綫化理論的結果可用零代入 (5)、(6) 及 (7) 式中的  $ku$  而立即得出。这样所得出的关系式清楚地显示了綫化理論的著名特点——即气流的类型取决于自由流馬赫数，而不取决于局部馬赫数；在整个流場內，特性面与  $x$  軸的交角是相等的；方程式中并未包含指示在无穷小流管中可能存在音速喉管的項。

由 (5) 式可以知道，出現局部音速的  $u$  的临界值(以及因此而产生的微分方程类型的变化)可采取使  $1 - M_\infty^2 - ku$  等于零的方法来确定。联合所得出的表示式与方程式 (3a)，得出临界压力系数与自由流馬赫数之間的簡單关系

$$C_{p,c,r} = -2[(1 - M_\infty^2)/M_\infty^2(\gamma + 1)] \quad (8)$$

重要的是，跨音速气流理論提供临界压力系数隨馬赫数变化的良好近似式。圖 1 中的曲綫显示，(3) 式所給出的結果确实是很好的近似值。圖中的實綫表示 (8) 式所給出的近似結果，虛綫表示等熵气流精确关系式所给出的对应結果。

方程式 (2) 所给出的激波关系的近似度如圖 2 所示。圖中表示了著名的激波極綫，把激波后的横向速度分量  $v_b$  画成縱向速度分量  $u_b$  的函数。在这一特定例子中，激波前的气流被认为是均匀的，并与  $x$  軸平行，其馬赫数为 1.2。實綫表示用 (2) 式計算而得的近似激波極綫，虛綫表示

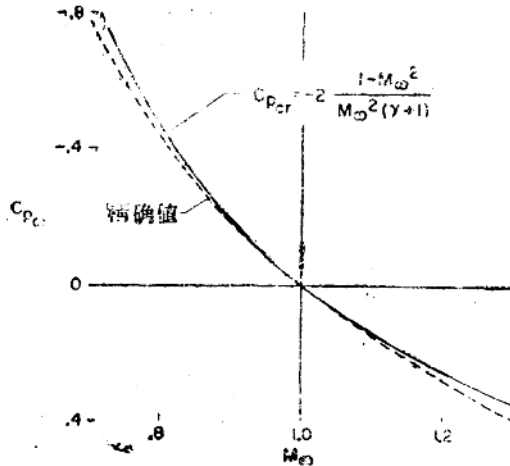


圖 1 临界压力系数随馬赫数的变化

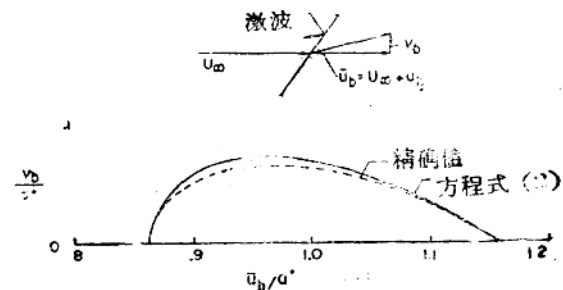


圖 2  $M_\infty = 1.2$  的激波極線圖

对应的精确结果。可以看到，跨音速气流理论方程式的近似结果在板的右端（对应于弱激波）提供了正确的切线，同时在左端（对应于正激波）提供了正确的速度突跃。这个结果不同于用压缩性气流简化理论方程式所得出的近似值，在简化理论中，近似激波极线是一条与极线弱激波端相切的直线。

### 馬赫数在 $M_\infty = 1$ 时的冻结

跨音速气流最吸引人的特性之一，乃是当自由流马赫数接近 1 时，翼型上的局部马赫数分布就与自由流马赫数无关（参考文献 9，第 274 页以后；参考文献 10，第 293 页以后）。这种现象表示在图 3 (a) 中，图上画出了在几种自由流马赫数下，来潑曼 (Liepmann) 及 勃利生 (Bryson) [11, 12] 在单楔形表面上所测得的一系列局部马赫数分布。可以看出，当自由流马赫数自 0.85 变到 1.24 时，局部马赫数基本上保持不变，或所谓冻结了。

在图 3 (b) 上给出了根据丕琪 (Page) 数据 [13] 所得出的流经细长圆锥—圆柱体的轴对称气流

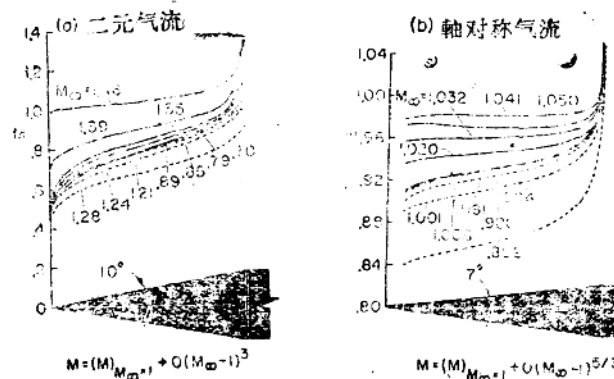


圖 3 馬赫数的冻结,  $(dM/dM_\infty)_{M_\infty=1} = 0$

的相应結果。由此看出，局部馬赫数分布冻结时的自由流馬赫数范围是很小的，大約祇由0.99到1.01。必須注意到丕琪还曾證明，这种冻结效应可能完全为風洞壁的干扰所遮蔽，除非模型的尺寸远較試驗段的尺寸为小。在圖3(b)所示的特殊場合中，圓錐的長度为13.9厘米，而試驗段方形截面的每边長4.2米。如将这一圓錐置于每边長0.6米的正方形截面的試驗段中，则風洞壁的干扰效应将使馬赫数冻结現象消失不見。

在二元气流及軸对称气流之間，局部馬赫数冻结时的馬赫数范围的差別，至少在質的方面是与古得来所得出的理論結果[10]相符的。古得来的理論指出，对于二元气流， $M$  值与  $M_\infty = 1$  之間的差別（展开为級數）的主要項与  $(M_\infty - 1)^3$  成正比；但对軸对称气流，主要項与  $(M_\infty - 1)^{5/3}$  成正比。

### 相似定律

在跨音速气流理論方程式的分析中，首要的結果是相似定律。我們可以通过相似定律将二元气流中具有相似几何形状的翼型族的空氣动力性能联系起来。馮·卡門在参考文献[6]中比較詳細地描述了这个結果，并且它被很快地推广到三元气流方面。在参考文献[7]、[14]、[15]及[16]中给出了相似迴轉体族及有限翼展机翼族的相似定律。这些定律的意义，在于它们提供了一些适当的无因次量，从而减少了用以表示关联气流族解的独立变数。

#### 有限翼展机翼

圖4中的数据表明，如何利用相似律來組織實驗数据，以便使决定有限翼展机翼族的空氣动力性能的試驗工作量大为减少。在零攻角下，一族相似无弯度机翼的阻力及升力曲綫斜率的相似律为：

$$\bar{C}_D = \mathcal{D}(\xi_\infty, \bar{A}), \quad \bar{C}_{L_a} = \mathcal{L}(\xi_\infty, \bar{A}) \quad (9)$$

其中：

$$\bar{C}_D = \{[M_\infty^2(\gamma + 1)]^{1/3}/\tau^{5/3}\} C_D$$

$$\xi_\infty = (M_\infty^2 - 1)/[M_\infty^2(\gamma + 1)\tau]^{2/3}$$

$$\bar{A} = [M_\infty^2(\gamma + 1)\tau]^{1/3} A$$

$$\bar{C}_{L_a} = [M_\infty^2(\gamma + 1)\tau]^{1/3} C_{L_a}$$

上式說明，祇需要两个参数  $\xi_\infty$  及  $\bar{A}$  就足以表示結果了；这种結果本来是須要四个参数来表示的，即展弦比  $A$ 、相对厚度  $\tau$ 、馬赫数  $M_\infty$  以及可能的比热比值  $\gamma$ （假如試驗是在几种气体中进行的）。在自由流馬赫数等于1的情况下，因为参数  $\xi_\infty$  等于零，結果祇依賴于一个参数，所以問題就大为简化。参考文献[17]中的一大族机翼實驗数据証实了这个結論（見圖4），这族机翼的平面形状是長方形的，其翼型为对称的 NACA63AOXX。

令人感到兴趣的是，这两条曲綫的基本形状相似，都显示出两种趋向：一种对应于小展弦比，另一种对应于大展弦比。对于小展弦比机翼，此曲綫接近于穿过原点的直綫；对于大

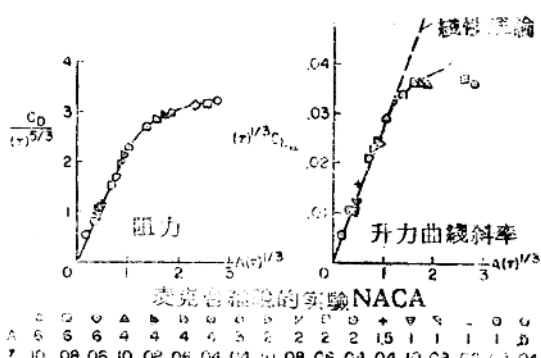


圖4 長方形机翼的相似律，NACA63AOXX  
翼型， $\alpha = 0, M_\infty = 1$

展弦比机翼，则接近于水平线，后一性质说明，展弦比已不成为一参数了，而升力及阻力系数都趋近于其二元值。对于  $A\tau^{1/3}$  小于 1 的机翼，升力的实验值实际上相同于用线性理论所得出的数值，即升力曲线斜率  $C_{L,a}$  等于  $\pi/2$  乘以展弦比。但是对于阻力，线性理论并不能给出良好的近似，因为对于所有的有限厚度机翼，它都给出无穷大值。应当注意这样的事实：假定全部机翼都具有相同的弦长，并位于具有相同动压力的气流中，则此结果说明，这族机翼中的小展弦比机翼的阻力与其前视面积的平方成正比。

在参考文献 [17] 中还列出了类似于图 4 所示的一些其他数据（同一族机翼的），同时也列出了长方形平面形状的弯度机翼族的数据。三角形平面形状机翼的类似结果见参考文献 [18]。  
迴轉体

对于绕细长尖头迴轉体的轴对称气流，相似律说明相似物体族的表面压力可用下式表示或联系起来：

$$C_p + (1/\pi) S''(x) \ln[\tau^2 M_\infty (\gamma + 1)^{1/2}] = \tau^2 \delta(\xi_\infty, (x/l)) \quad (10)$$

其中

$$\xi_\infty = (M_\infty^2 - 1) / M_\infty^2 (\gamma + 1) \tau^2$$

图 5 表示在自由流马赫数 1 下，将相似律应用于二个抛物线迴轉体的实验压力分布时的情况。图中的实线及数据点表示得劳琪 (Drougge) 对相对厚度为  $1/6$  及  $\sqrt{2}/12$  的物体所作出的实验结果。虚线表示相对厚度  $1/6$  的物体的实验数据，以及利用 (10) 式计算而得的相对厚度为  $\sqrt{2}/12$  的物体的结果。可以看出，用相似律所得出的结果几乎与测量结果完全一致。

将 (10) 式直接积分，可得阻力的相似律：

$$(D/q l^2) + \{[S'(l)]^2 / 2\pi l^2\} \ln[\tau^2 M_\infty (\gamma + 1)^{1/2}] = \tau^4 \delta(\xi_\infty) \quad (11)$$

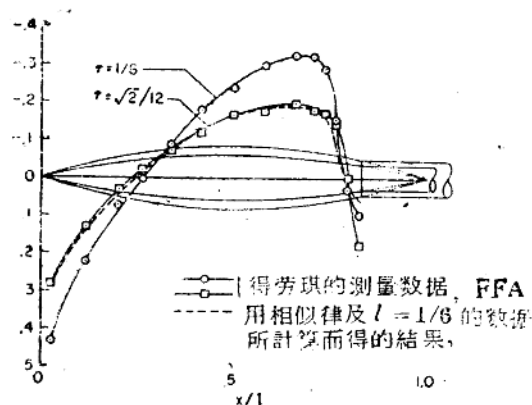


圖 5 抛物綫迴轉体的相似定律， $\alpha=0, M_\infty=1$   
大或很小的马赫数，也即纯超音速或纯亚音速气流。但是参考文献 [20] 指出，在跨音速范围的边界附近，应用相似律会出现根本的差错。（10）式所给出的  $\xi_\infty$  决定着相联气流的马赫数及物体相对厚度。由此清楚地看出，在某些情况下跨音速气流被联系到亚音速气流或超音速气流上去；根据这些气流间的本质差别，特别是考虑到激波系及其阻力时，这些简单关系的相似律所给出的结果当然是没有物理意义的。这种困难的来源，估计是在推导轴对称气流的相似律时没有对超音速气流区的依赖条件及影响条件给予足够的注意。

其中  $l$  表示物体的长度， $S'(l)$  表示横截面积在物体尾部的轴向分布。假如物体的尾部是圆柱形的或是尖头的，则因  $S'(l)$  等于零，所以这个关系就变得非常简单了。由此得出，对于这种几何相似并有相同长度的物体族，其自由流马赫数为 1 时的阻力与前视面积的平方成正比，这正与图 4 的几何相似小展弦比机翼族的情况一样。

在参考文献 [19] 及 [20] 中给出了类似于图 5 所示，但马赫数不等于 1 的其他物体的比较曲线。这些结果证明，轴对称气流的相似律适用于在 1 附近的马赫数，以及很

## 跨音速相当定律

奧斯华铁许所提出的跨音速相当定律 (Equivalence Rule) (其摘要见参考文献 21 及 22)，将绕任意截面细长物体的气流与绕具有同样纵向横截面积分布  $S(x)$  的“相当”非升力圆柱体的气流联系起来。这条定律紧密地关系到跨音速细长物体理论的一个最简单结果——即在细长物体附近， $\varphi$  的表示式近似地具有这样的形式：

$$\varphi = \varphi_2(x; y, z) + g(x) \quad (12)$$

其中  $\varphi_2$  是  $yz$  平面上每个  $x$  点在既定边界条件时拉普拉斯方程式

$$\varphi_{yy} + \varphi_{zz} = 0 \quad (13)$$

的解； $g(x)$  是取决于  $M_\infty$  及  $S(x)$  的附加项。于是就可以由比较简单的相当物体轴对称气流的解答来决定  $g(x)$ 。相当定律的数学形式为：

$$\varphi_W = \varphi_{2W} - \varphi_{2B} + g_B \quad (14)$$

我们可以首先对任意截面物体 (脚注 W) 写出(12)式，然后对相当物体 (脚注 B) 写出(12)式，再把它们相减而得到上式。

对于脚注 W 对应于展弦比为  $A$ 、弦长为  $c$ 、相对厚度为  $\tau$  的薄翼的情况，(14) 式的误差级见参考文献[22]。其中证明：(14) 式中量  $\varphi_W/U_\infty c$  的大小属于  $O(A \ln A)$  的级\*，而在  $M_\infty=1$  时所略去的量的级为  $O(A^4 \tau^2 \ln A)$ 。因为在简化理论中，推导同样结果而略去的量的级为  $O(A^3 \tau \ln A)$ ，所以在  $M_\infty=1$  下，(14) 式可应用于展弦比远较在其他马赫数下为大的机翼。

现在来考虑将这一理论用于椭圆截面的薄锥体-柱体，因为这种物体有实验数据。在参考文献[22]中证明，由上述方法得出的该物体圆锥部分表面上的压力系数值  $C_{pW}$  与相当圆锥-圆柱体表面上的  $C_{pB}$  之间的关系为

$$C_{pW} = C_{pB} - (A\tau/8)[1 + \ln(A/8\tau)] \pm (\alpha A/2\sqrt{1-y^2/s^2}) \quad (15)$$

符号  $A$  及  $\tau$  分别表示椭圆锥体的展弦比及相对厚度，其平面形状为  $y = \pm s(x)$ ； $\alpha$  表示攻角；负号用来表示上表面，正号用来表示下表面。

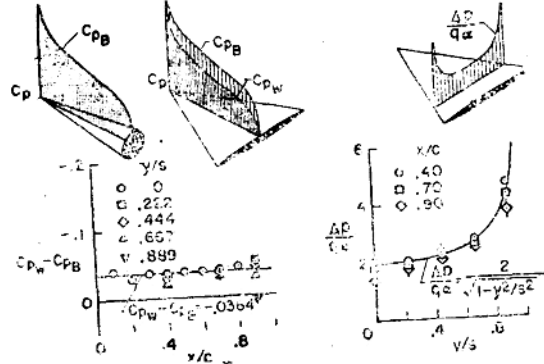


圖 6 跨音速相当定律应用于薄椭圆锥体-柱体时的情况， $A=2, \tau=0.06, \alpha=0, M_\infty=1$

下面考虑将(15)式应用于  $A=2, \tau=0.06$  的薄椭圆锥体-柱体。丕琪最近在参考文献[13]中列出了这种锥体-柱体上压力分布的实验结果，另外也给出了相当圆柱体的实验结果。图 6 中的左图表示在几个关键点上，非升力椭圆锥体-柱体与圆锥体-柱体上的压力系数差。以  $\Delta P/q$  用一条直线所表示的理论  $C_{pW} - C_{pB}$  值 [公式(15)]。左图表示在椭圆锥体-柱体的一系列点上，气动力载荷  $\Delta P/q$  或上下表面  $C_{pW}$  的差的理论数值与实验数值的比较。我们看到，除了锥体底面附近的一小块区域外，理论结果与实验结果的符合相当令人满意。

从上面的讨论中可以看出，对于小展弦比机翼及细长物体，空气动力载荷，即升力及其他横

\*  $O(A\tau \ln A)$  中的“O”就是Order (级) 的意思——译者。

向力以及力矩完全是因  $q_2$  而引起的。因此这些量不依赖于马赫数，并与亚音速或超音速气流的细长物体线化理论所得出的相同。这个结果证实了几年前的說法，即细长机翼<sup>\*</sup>的线化理论能正确地给出小展弦比机翼在  $M_\infty = 1$  下的气动力载荷[23]、[24]。

### 跨音速面积定律

跨音速气流的最著名特性之一就是挥脱康勃(Whitcomb)在参考文献[25]中所提出的跨音速面积定律。该定律指出，在音速附近，小展弦比薄翼-机身组合的零升力阻力主要取决于垂直于主流的轴向横截面积分布。这条定律是在跨音速流场的某些基本特性上建立起来的，并由实验所证实。很显然，它紧密地联系着跨音速相当律，并且的确是在某些限制下由相当律推演出来的。在参考文献[22]中详细讨论了这两个定律间的关系，并且证明可由相当律导出用相当物体阻力来表示任意物体阻力的公式：

$$D_W = D_B - \frac{\rho_\infty}{2} \left( \int_{C_W} q_{2W} \frac{\partial q_{2W}}{\partial n} d\sigma_C - \int_{C_B} q_{2B} \frac{\partial q_{2B}}{\partial n} d\sigma_C \right) \quad (16)$$

这两个积分都是沿位于垂直于  $x$  轴的平面内的曲线  $C$  的线积分，曲线  $C$  包围了物体的底面，也包围了任何存在的涡迹。因此  $D_W - D_B$  的差值与马赫数无关，并与线性细长机身理论所给出的相同。假如任意物体位于倾角  $\alpha$  的位置上，则第一积分项所给出的阻力部分与  $\alpha^2$  成正比。这个量正好是旋涡阻力。假如只限于非升力情况，则对于某几种形状，这两个积分的数值互相抵消，并且

$$D_W = D_B \quad (17)$$

其中的一种形状在尾部尖缩成一点，这时两个积分都等于零。另一种形状的底部是柱形的，这时  $\partial q_{2W}/\partial n = \partial q_{2B}/\partial n = 0$ 。此外还有一些物体在尾部具有相同的形状及表面斜率，这时两个积分都沿着相同的曲线  $C$  进行，在这曲线上  $q_{2W} = q_{2B}$  以及  $\partial q_{2W}/\partial n = \partial q_{2B}/\partial n$ ，所以积分也互相抵消了。上述这些以及其他一些积分项抵消的情况组成了能应用跨音速面积律的一类物体形状。

挥脱康勃在参考文献[25]中用来引证跨音速面积律的某些数据列于图 7 中。从左图看出，在这一对物体上减去低速摩擦阻力后的阻力部分是非常接近于相等的。并不是所有的挥脱康勃结果（特别是蜂腰形相当物体的结果）都能像此图所示结果那样地符合面积律，但是误差中的一部分很可能是边界层效应的结果。

可是，挥脱康勃的主要目的并不在于研究面积律的精确性，而是找出能以低阻力穿过跨音速范围的机翼-机身组合形状。面积律提供了解决这个问题的途径，它指出低阻力的机翼-机身组合形状必须使相当物体具有低阻力圆柱体的光滑外形。因此，在机翼附近，机身的横截面积应予减小。挥脱康勃的结果（其中的一例示于图 7 的右图中）证明，这种机翼-机身组合的阻力

\*这里的细长机翼 (Slender Wing) 是指弦向尺寸与展向尺寸比较起来显得很大的机翼，其中“细长”两字的意义与细长物体中的相同——译者。

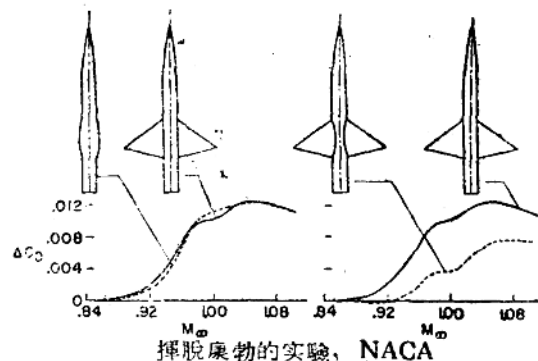


图 7 跨音速面积律

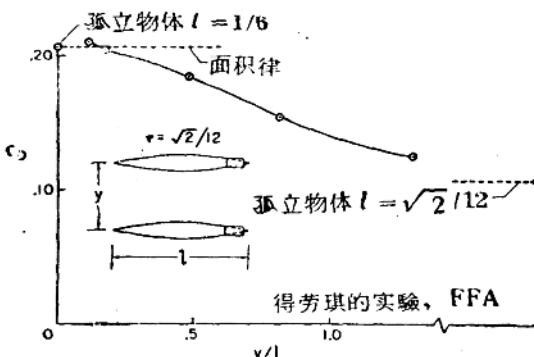


圖 8 一对截尾抛物綫迴轉體的横向間隔对  
阻力的影响,  $M_\infty = 1$

厚度为 $\sqrt{2}/12$ 的單个物体的值。

研究圖 4 所示長方形机翼族的阻力，可以进一步了解面积律的应用范围。在可用一条通过原点的直线来表示結果的  $A\tau^{1/3}$  范圍內，各种長方形机翼的阻力值可按面积律联系起来。可以看到，当  $A\tau^{1/3}$  小于 1 时，面积律适用于这族机翼中的任一个。在这一点上，应当注意这族机翼的相当物体是鈍头而粗短的，并不是尖头而細長的。由此看来，相当迴轉体的阻力特性与关連机翼族的阻力特性大不相同，虽然这族机翼中的一些小展弦比机翼的阻力特性可用跨音速面积律联系起来。这族机翼阻力特性的进一步討論以及弯度机翼族問題，都載于参考文献[26]中。

应当明确，(16) 式中的积分并不經常互相抵消，所以面积律并不是对所有的薄翼与細長相当物体的組合都能成立的。对于阻力由下式給出的椭圓錐体-柱体族的特殊情况：

$$C_{D_W} = C_{D_B} - \omega^2 \ln \left\{ \left( \frac{a}{4b} \right) [1 + \left( \frac{b}{a} \right)^2] \right\} \quad (18)$$

这种效应的大小示于圖 9 中。上式中的量  $C_{D_W}$  表示基于最大横截面积的椭圓錐体阻力系数； $C_{D_B}$  表示相当迴轉体的阻力系数；分数  $a/b$  表示椭圓横截面的長軸与短軸之比； $\omega$  表示相当圓錐-圓柱的半頂角。这个关系式来自参考文献[22]，与圆錐-圆柱的理論阻力表示式

$$C_{D_B} = -\omega^2 (1.09 + 4 \ln \omega) \quad (19)$$

联系起来后，就可定出任意截面的錐体-柱体的阻力表示式。圖 9 表示一組椭圓錐体-柱体的数字結果，其横截面积的軸向分布与半頂角  $\omega$  为 0.1225 弧度 ( $7^\circ$ ) 的圓錐-圓柱相同。我們看到，当椭圓横截面逐渐变扁时，阻力会显著地减少。还应指出，当截面为圆形时，阻力最大。这一結論符合勃恩脫 (Berndt) [27, 28] 的更为普遍的結論，他研究了  $M_\infty = 1$  时相当物体族的某些最大及最小性質。

要比无蜂腰机身的小得多。

很明显，假如机翼的横向尺寸无限地增大，则跨音速相當定律及面积定律都不能再繼續应用了。得劳琪在参考文献[19]中作了一对平行安置的抛物綫迴轉體的阻力試驗(圖 8)，物体的相对厚度  $\tau$  为  $\sqrt{2}/12$ ，它位于自由流馬赫数为 1 的气流中。对这一实验数据进行觀察，就可了解这些定律的适用范围。我們看到，假如物体間的距离很小，则基于最大横截面积的阻力系数接近于相对厚度为  $1/6$  的單个物体按面积律所确定的阻力系数。但当这两物体逐渐远离时，阻力系数就減小了，最后接近相对

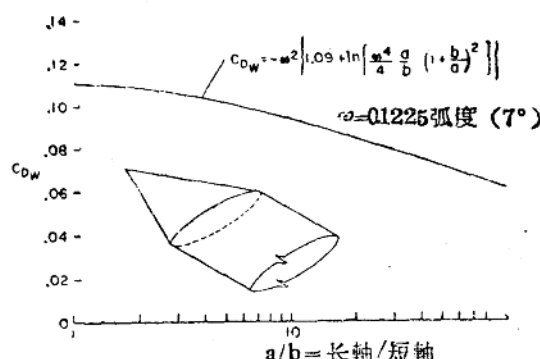


圖 9 椭圓錐体-柱体的阻力,  $M_\infty = 1$ 。

### 速端圖方法

在許多二元跨音速气流的研究中，第一步就是利用速端圖轉換來線化  $g$  的主微分方程式

(1)。速端圖轉換顛倒了自變數與隨變數的關係。假定轉換行列式

$$J = u_x^2(M_\infty^2 - 1 + ku) - u_z^2 \quad (20)$$

不等於零，則可直接得出下列二方程式：

$$(1 - M_\infty^2)z_w + x_u = kuz_w, \quad x_w = z_u \quad (21)$$

在亞音速氣流區域內，行列式不可能等於零；但在超音速氣流區域內，行列式可能並且經常等於零。因此，速端圖法在跨音速氣流方面的應用通常局限於亞音速區域及小部分超音速區域。解答的其他部分可用別的方法計算，例如特性線法，這對超音速氣流是特別合適的。

消去  $x$ ，令  $z$  與流函數  $\psi$  相同，並引入新變數  $\eta$  及  $\theta$

$$\eta = (M_\infty^2 - 1 + ku) / (U_\infty k)^{2/3}, \quad \theta = w/U_\infty \quad (22)$$

便得出所謂特里考密 (Tricomi) 方程式

$$\psi_{\eta\eta} - \eta \psi_{\eta\theta} = 0 \quad (23)$$

它是最簡單的混合型線性二階偏微分方程式。雖然不難決定特里考密方程式的簡單解，並且因為方程式是線性的，所以可以採用疊代原則，但是對於繞翼型的跨音速氣流，求解邊界值的問題仍很複雜。當翼型由直線組成時，這個困難就大大減少了。在繞楔形及平板翼型的跨音速氣流的研究中，速端圖方法的應用是很成功的。在這些研究中，同時採用了解析法及數字法(衰減法)。

楔形翼型的數據最為完全：考爾 (Cole) 給出了馬赫數小於 1 的近似解 [29]，這種近似解最近由約希哈拉 (Yoshihara) 作了改善 [30]；古得來及約希哈拉求得馬赫數等於 1 的近似解 [31]；

而文生梯 (Vincenti) 及華貢納 (Wagoner) 則給出了馬赫數大於 1 的近似解 [32]；另外，來瀨曼和勃利生給出了三種不同楔形的實驗數據 [11, 12]。在圖 10 中用跨音速相似參數  $c_d$  及  $\xi_\infty$  (其定義見圖) 總結了各種方法的阻力結果 (考爾的結果以虛線表示)。由此看出，這三個楔形的數據一致地形成一條符合跨音速相似律的曲線，並且這條曲線也與理論曲線很符合。必須注意，本圖所示的全部理論結果都是在將原論文中的形式修改後得到的，所以在它們的

圖 10 單楔形截面的壓差阻力

推導過程中所採用的跨音速理論方程式與方程式 (1) 及 (2) 的不同，其中以  $\gamma + 1$  代替了  $M_\infty^2(\gamma + 1)$ 。在參考文獻 [7] 及 [8] 中指出，假如理論結果保持其原來的形式，那麼它們就不會與實驗結果符合得那麼好。在最近幾年中，許多學者研究了繞楔形及平板翼型的跨音速氣流的其他各種速端圖解答。其中大部分都總結在古得來最近出版的書中 [10]。參考文獻 [33] 給出了類似於圖 10 所示的理論與實驗結果的一些其他的比較。

依瑪依 (Imai) 在參考文獻 [34] 中指出，假定我們認為氣流在有限楔形肩角處自翼型表面分离，并沿着速度為音速的自由流線運動，則求解自由流馬赫數 1 的氣流問題就會比在肩角處遵循普朗陀—梅葉爾 (Prandtl-Meyer) 膨脹的氣流簡單得多。在這樣的假設下，對於所有 1 以下 (包括 1) 的自由流馬赫數都不會出現超音速氣流區域，因此也就避免了混合型主方程式所引起的困難。海里威爾 (Helliwell) 及麥基 (Mackie) 最近在參考文獻 [35] 中對此問題作出了跨音速氣流理論方程式的精確解。幾乎在同一時間，庫蘇卡瓦 (Kusukawa) 發現了同一問題的有趣近似解 [36]。

这一解答的决定很簡單，利用了压缩性气流的压力系数  $C_p$  与非压缩性气流<sup>\*</sup>的压力系数  $C_{p0}$  之間的近似关系。当自由流马赫数为 1 时，此关系化为下列形式：

$$C_p = [(9/2)/(\gamma+1)]^{1/3} C_{p0}^{2/3} \quad (24)$$

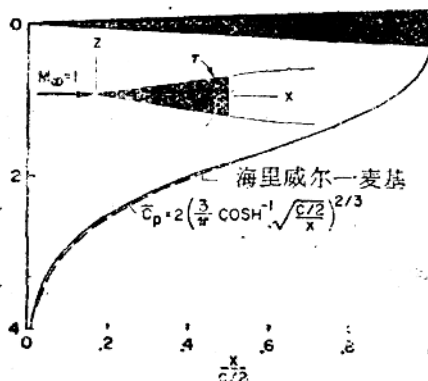


圖11 有限楔形上分离气流的压力分布，  
 $M_\infty = 1$

参考文献中也包括馬赫数小于 1 的結果。

庫苏卡瓦采用依瑪依用来分析压缩性气流的WK B近似法（見参考文献37，第6章）得出了上列表示式。将(24)式与非压缩性气流解的近似表示式联系起来，可以得出处于自由流馬赫数1气流中的楔形表面上压力分布的簡單表示式（楔形的弦長为  $c/2$ ，半頂角为  $\tau$ ）：

$$\begin{aligned} \bar{C}_p &= [(\gamma+1)^{1/3}/\tau^{2/3}] C_p \\ &= 2[(3/\pi)\cosh^{-1}\sqrt{(c/2)/x}]^{2/3} \end{aligned} \quad (25)$$

精确的及近似的压力分布的比較示于圖11中。我們看到，这两个結果在数值上几乎是相同的。

在参考文献[38, 39及40]中，对于流經傾斜平板的及流經位于阻塞(Choked)渠道中楔形的自由流方向的气流，給出了解答。其中后面兩篇

### 逐次近似法

在許多文献中，經常采用重複法来求出压缩性气流完全方程式及跨音速气流简化方程式的近似解。在許多这样的方法中，可以用来分析繞薄翼型及細長物体的气流的最著名及最简单的方法是逐次近似法 (Method of Successive Approximation)。在这一方法中，所寻求的解答具有展开为相对厚度累級数的形式。这个方法的一級近似解  $\varphi^{(1)}$  可由解清朗陀-葛劳渥方程式

$$(1-M_\infty^2)\varphi_{xx}^{(1)} + \varphi_{yy}^{(1)} + \varphi_{zz}^{(1)} = 0 \quad (26a)$$

而得。将(1)式的右边項代以零，就可得出这个方程式。这个結果就是綫性理論的結果，当馬赫数朝两头远离 1 时，此跨音速气流的解是收敛的。二級近似解系由下列方程式（也是綫性的）获得：

$$(1-M_\infty^2)\varphi_{xx}^{(2)} + \varphi_{yy}^{(2)} + \varphi_{zz}^{(2)} = k\varphi_{xx}^{(1)}\varphi_{yy}^{(1)} \quad (26b)$$

此式系将一級近似解代入(1)式右边項而得。亞音速或超音速气流的較高級近似可按相似的方法求得。

虽然曾經發展了許多特殊的方法来帮助求解方程式（見参考文献 37, 41, 42 及 43），但是积分中的困难仍然很大，对于高于二級的近似解，只能求得極少数的解答。其中之一是流經對称圓弧翼型的亞音速气流，阿薩卡(Asaka)得出了它的三級近似[44]。（阿薩卡所处理的問題是求解压缩性气流理論完全方程式的三級近似解，但从他的結果中也可很簡單地引出跨音速气流小扰动理論方程式的解。）在相对厚度为  $\tau$  的这种翼型的中点上，压力系数随馬赫数的变化为

$$\begin{aligned} C_p &= -2.5465(\tau/\sqrt{1-M_\infty^2}) - 0.5132[M_\infty^2(\gamma+1)/(1-M_\infty^2)^2]\tau^2 \\ &\quad - 0.6339[M_\infty^4(\gamma+1)^2/(1-M_\infty^2)^{5/2}]\tau^3 + \dots \end{aligned} \quad (27)$$

\*原文此处誤为压缩性气流——譯者。

对于  $\tau = 0.06$  的特殊情况，前三项近似结果  $C_{p_1}$ 、 $C_{p_2}$  及  $C_{p_3}$  示于图 12 中。可以看出，每加上一项都会增大最大负压力系数值，另外，表示结果的曲线在穿过临界压力系数  $C_{p_{cr}}$  线时也没有引起明显的影响。在所有小于 1 的马赫数下，用逐次近似法所得出的通常是无激波、无阻力的气流。现在认为，假如气流是跨音速的，则其结果的级数展开式并不收敛。

在转向另一个题目之前，还应当谈一下另一种逐次近似法。在参考文献 [8; 20, 45 及 46] 中曾把它用于亚音速气流。用这个方法所得出的结果，过高地估计了最大负压力系数随马赫数的变化。这个方法紧密地联系着上述方法，并且最好这样来进行叙述：首先将逐次近似法结果的级数展开式的普遍形式写成转化变数  $\bar{u}$  及  $\bar{\tau}$  的函数：

$$\bar{u}_n = \sum_{n=1}^{\infty} a_n \bar{\tau}^n \quad (28)$$

其中

$$\bar{u} = [M_\infty^2(\gamma+1)/(1-M_\infty^2)](u/U_\infty)$$

$$\bar{\tau} = [M_\infty^2(\gamma+1)/(1-M_\infty^2)^{3/2}] \tau$$

$$C_p = \{[M_\infty^2(\gamma+1)]^{1/3}/\bar{\tau}^{2/3}\} C_p = -2(\bar{u}/\bar{\tau}^{2/3})$$

这一种方法的  $N$  级近似值，可利用关系式

$$\bar{u}_N = 1 - \sqrt{1 - 2\bar{u}_{N-1} + \bar{u}_{N-1}^2} \quad (29)$$

从级数展开法的  $n$  级近似值直接得出。在参考文献 [8] 的附录中证明，对于到处都是亚音速的气流，用 (29) 式所得出的结果在无限次重复计算的情况下，收敛为用 (28) 式所得出的最终结果。但是 (29) 式不适用于在流场中出现音速的情况，所以不能提供混合气流或跨音速气流的结果。

曾经用 (29) 式计算过对称圆弧翼型中点上压力随马赫数变化的前三项近似  $C_{p_1}$ 、 $C_{p_2}$  及  $C_{p_3}$ ，它们示于图 12 中。由此图看出，在小马赫数下，各种近似结果都符合得很好；但在接近其临界值的马赫数下，它们之间就会出现很大的差别。在临界值以下的各个马赫数上，曲线一般趋向位于比较狭窄的界限内，因为以跨音速气流理论方程式的精确解所表示的  $C_p$  随  $M_\infty$  的变化，要比第一种方法的第三项近似值大，但又比第二种方法的近似值小。

### 积分方程式方法， $M_\infty < 1$

将格林理论 (Green's Theorem) 应用到围绕物体及其尾迹以及激波的适当区域上去，就可把跨音速气流理论的基本方程式变成具有非线性积分方程式的形式。格林理论的形式很多，所以可导出许多不同的积分方程式。在绕任意非升力翼型的二元跨音速气流的分析中（其自由流马赫数小于 1），一个有用的积分方程式是

$$\bar{u} - \frac{\bar{u}^2}{2} = \bar{u}_L - \frac{1}{2\pi} \times \iint_{-\infty}^{+\infty} \frac{\bar{u}^2}{2} - \frac{(\bar{x}-\bar{\xi})^2 - (\bar{z}-\bar{\zeta})^2}{[(\bar{x}-\bar{\xi})^2 + (\bar{z}-\bar{\zeta})^2]^2} d\bar{\xi} d\bar{\zeta} \quad (30)$$

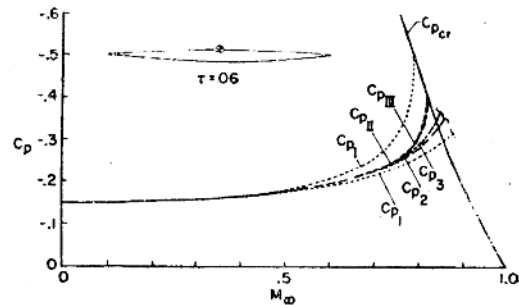


圖 12 圓弧翼型中点上的压力分布，

$\tau = 0.06$

其中

$$\bar{u} = u/u_{cr} = [M_\infty^2(\gamma+1)/(1-M_\infty^2)](u/U_\infty),$$

$$\bar{x} = x,$$

$$\bar{z} = \sqrt{1-M_\infty^2} z$$

此式中的符号  $\bar{u}_L$  表示由压缩性气流线化方程式 [即公式 (26a)] 的解答所给出的  $\bar{u}$  的表示式。

引入缩写  $I/2$  来代表积分，可简化对 (30) 式性质的讨论。再令  $L=2\bar{u}_L-1$ ，可写出

$$\bar{u} = 1 \pm \sqrt{I-L} \quad (31)$$

由此立即得出  $I \geq L$ 。正负号的选择决定气流是亚音速的还是超音速的。在  $I=L$  的点上，符号的变换对应于穿过音速时的转变很平稳。在  $I > L$  的点上，符号的变换会引起速度上的不連續突跃，并在物理上对应于一道激波。假如在这样的点上，  $I$  及  $L$  是連續的，则不連續对应于一正激波。当由較大的速度降为較小的速度时，这种不連續是合理的（压缩激波）；但当速度沿反方向变化时，则是不合理的。

现在必须引入近似关系来简化 (30) 式，以便计算結果。参考文献 [8, 46, 47 及 48] 証明，在一些双凸翼型的压力分布計算中有一种简化是非常有用的，即以

$$\begin{aligned} \bar{u}(\xi, \zeta) &= \bar{u}(\xi, 0)/[1+(\xi/b)]^2, \\ b &= -2[(1-M_\infty^2)^{3/2}/M_\infty^2(\gamma+1)] \times [\bar{u}(\xi, 0)/(d^2Z/dx^2)] \end{aligned} \quad \} \quad (32)$$

来近似地表示积分中的  $\bar{u}(\xi, \zeta)$ ，这样就可对  $\bar{z}$  进行积分，由此而得的积分方程式可用数字法及重複法求解。

这个方法在参考文献 [46] 中用来决定五族相关联的翼型的压力分布，这些翼型的最大厚度点

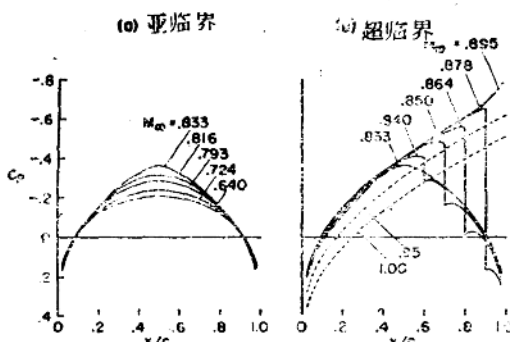


圖 13 圓弧翼型的压力分布,  $\tau=0.06$ ,  $M_\infty=1$

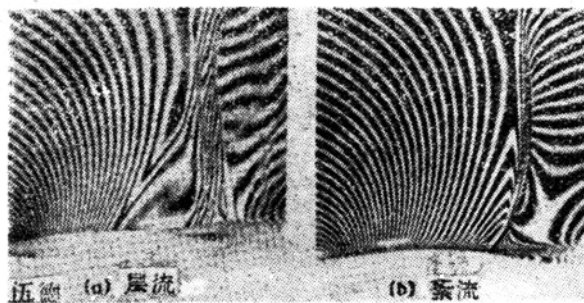
的位置各不相同，由 30% 至 70% 弦長。圖 13 表示了 6% 厚度对称圆弧翼型的結果。圖 13 中的部份 (a) 說明，在临界馬赫数以下的压力分布是對称的，并且沒有激波，同时最大负压力系数随馬赫数的增大而緩慢地增加，正如圖 12 中較高級近似一样。部份 (b) 表示馬赫数超过其临界值后出現了激波。随着馬赫数的繼續增加，激波迅速地向后移动。在比 1 小得多的馬赫数下，激波到达后緣。应当指出，在整个激波沿翼弦运动的馬赫数范围内， $C_p$  值几乎保持相同于临界馬赫数下的值。当馬赫数增大到使激波到达后緣时，整个压力分布的形狀（而不是大小）与馬赫数 1 时的压力分布相似。在圖 13 中，馬赫数为 1 时的結果以一虛線表示，这并不是用积分方程式方法計算出来的，而是用下一节中所談到的方法决定的。

示于圖 13 部份 (b) 中的超临界馬赫数的結果指出，紧接着激波之后有一个压力梯度是負的小区域。虽然气流的这种細节在实验而得的压力分布中并不明显，同时也已超过了 (32) 式近似法所能提供的精确度范围，但是在与爱芒斯 (Emmons) [49] 几年前用衰減法計算得出的結果和齐来潑 (Zierep) [50] 最近对双凸表面与激波相交区域的分析比較后，發現对于非粘性气流，这

个結果在本質上是正确的。参考文献[50]指出，压力在激波后立即按  $\Delta x/R$  的 $2/3$ 次乘幂降低，其中  $\Delta x$  为到激波的距离， $R$  为固体表面的曲率半徑\*。

虽然这种現象曾由阿克来脫 (Ackeret)、費尔得曼 (Feldman) 以及勞脫 (Rott) [51] 在边界層的緊外面觀察到，并且也會出現在艾姆斯研究中心最近所作的抽吸边界層翼型試驗中，但在实验时，这种現象几乎經常被激波-边界層干扰效應所遮蔽。

为了更好地显示这种激波-边界層干扰現象的本質，在圖 14 中复制了 12% 相对厚度的圓弧



伍德(WOOD) 及高得爾倫(GOODERUM)的實驗 NACA

圖14 边界層效應，圓弧翼型， $\tau=0.12, M_\infty = 0.88, Re = 600,000$

翼型气流的两幅光干扰圖。在这两幅圖中，气流条件的差別只在于 (a) 圖的边界層是層流的，(b) 圖的边界層是紊流的。層流情况的光干扰圖显示激波是  $\lambda$  型的，并且气流在弦長中点处自表面分离。但当边界層为紊流时，激波是單波型的，而气流則延遲到 70% 弦長处才开始分离。对应于这两种气流的理論的及測得的压力分布的比較 (参考文献8) 指出，在分离点前面的翼型部份上，两者很符合，但在翼型的其余部份上，两者之間的差別就很大。这說明，不仅应对非粘性气流找出求解方法，而且对边界層激波干扰現象也应建立求解方法。参考文献[53]中所記載的飞行試驗證明，在大雷諾数下这个問題的困难会减少些，因为層流边界層中的激波看来和紊流边界層的一样，也是單波型的。

### 局部線化方法

参考文献[20, 45 及 54]所采用的求解跨音速气流理論方程式近似解的簡單方法，是建立在下列基础上的：在一小区域內線化方程式，将非線性項用一常数  $\lambda$  代替，然后对流場中的不同点引入不同的值。当然，用这种方法所得出的結果取决于  $\lambda$  的選擇，而且为了得出最后結果还須要集合起来。令結果具有这样的形式，使  $\lambda$  原來所表示的值代到  $\lambda$  中去后能得出一个一阶非線性常微分方程。在許多場合下，这个方程式的形式是很簡單的，可解析地积出，而解答由閉合的解析形式来表示；在另外的一些場合下，必須采用数字积分法，但是方程式的形式使我們可以采用标准

\* 証明上的附注：作者通过与 J. 齐来殿及 D. G. 兰恩道尔 (Randall) 的通信了解到这种說法必須予以修正。兰恩道尔在 RAE TN Aero 2592 中証明，参考文献[50]中的分析会导出（翼型表面曲率的符号及絕對大小都保持原狀）令人惊异的結果，即在非粘性跨音速气流中，凸翼型上不可能存在激波。但是 P. R. 加拉貝地恩 (Garabedian) 指出，这两篇論文中所采用的基本假設——紧接激波后的流线曲率以連續的方式趋近翼型表面的曲率——是与在激波和曲線固体邊界的交点上亞音速气流的已知漸近膨脹相矛盾的。因此，跨音速气流的这一特殊区域还是一个未解决的問題，有待进一步研究。

的数字积分法。虽然这个方法的数学基础并未完全建立，但是在与用其他理论方法或实验所得出的结果进行了多次比较后，发现这个方法还是很有用的。下面就来简单地论述一下这个方法。

## 二元气流。

亚音速气流——首先考虑绕非升力翼型的二元亚音速气流，其翼型上表面的坐标为 $Z(x)$ 。令符号 $\lambda$ 表示 $1 - M_\infty^2 - ku$ ，然后将(1)式改写成

$$\lambda \rho_{xx} + \rho_{zz} = 0; \quad \lambda = 1 - M_\infty^2 - ku > 0 \quad (33)$$

现在假定 $\lambda$ 变化得非常慢，以致在分析的初期，可把 $\lambda$ 看成常数。翼型表面上 $u_E$ 的解答为：

$$u_E = (U_\infty / \pi \sqrt{\lambda}) \int_0^x [(dZ/d\xi) / (x - \xi)] d\xi = u_i / \sqrt{\lambda} \quad (34)$$

其中脚注 $i$ 对应于 $M_\infty = 0$ 的值。微分并以 $1 - M_\infty^2 - ku$ 代回 $\lambda$ ，使在每一点上采用 $\lambda$ 的局部值，便得到下列 $u$ 的非线性常微分方程：

$$du/dx = (1/\sqrt{1 - M_\infty^2 - ku})(du_i/dx) \quad (35)$$

这个方程式可用分离变数法求解。其结果为（以 $C_p$ 而不是以 $u$ 表示）

$$C_p = -[2/M_\infty^2(\gamma+1)]\{(1-M_\infty^2) - [C + (3/4)M_\infty^2(\gamma+1)C_{p,i}]^{2/3}\} \quad (36)$$

这里， $C_{p,i} = -2u_i/U_\infty$ ； $C$ 为积分常数。假定气流在各处都是亚音速的，则可利用(34)式所提供的结果， $u_i = 0$ 处 $u = 0$ ，来简单地算出 $C$ 。这样就可得出 $C_p$ 与 $C_{p,i}$ 之间的关系为

$$C_p = -[2/M_\infty^2(\gamma+1)]\{(1-M_\infty^2) - [(1-M_\infty^2)^{2/3} + (3/4)M_\infty^2(\gamma+1)C_{p,i}]^{2/3}\} \quad (37)$$

公式(37)被称为压力修正公式，它联系了压缩性气流中翼型上给定点的压力与非压缩性气流中

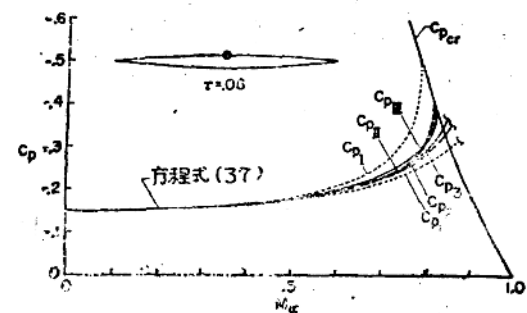


圖15 圓弧翼型中点上的压力， $r=0.06$

同一翼型上同一点的压力。在过去，曾经提出过许多压力修正公式，因而在参考文献[45]中就将(37)式的结果与其他的几个修正公式作了比较。因为所有这些表示式都包含以不定方式影响着最后结果的近似假设，所以最好将(37)式的结果与逐次近似法的结果进行比较。图15表示在6%厚度的圆弧翼型的中点上，各种 $C_p$ 随 $M_\infty$ 变化规律的比较。我们看出，(37)式的结果非常相似于采用(29)式的第二种逐次近似法的三级近似结果。这说明(37)式的结果还是很好的。

虽然最大负压力随马赫数的变化稍嫌大了一些。

应当指出，库苏卡瓦特WKB近似法应用于以速端圆变数表示的跨音速气流理论方程式后，也得出了(37)式的结果[只是因为在基本方程式上以 $(\gamma+1)$ 代换了 $M_\infty^2(\gamma+1)$ ，所以在结果上也有类似的差别]，由此得出，图11中所示由(25)式得出的有限楔形的压力分布近似结果（自由流马赫数为1时），也可用上述方法求得。

超音速气流——将同样的方法应用于超音速气流， $\lambda < 0$ ，则可得出对应于(36)及(37)式的下列结果：

$$C_p = [2/M_\infty^2(\gamma+1)]\{(M_\infty^2 - 1) - [C - (3/2)M_\infty^2(\gamma+1)(dZ/dx)]^{2/3}\} \quad (38)$$

$$C_p = [2/M_\infty^2(\gamma+1)]\{(M_\infty^2 - 1) - [(M_\infty^2 - 1)^{3/2} - (3/2)M_\infty^2(\gamma+1)(dZ/dx)]^{2/3}\} \quad (39)$$

这后面的关系式乃是跨音速气流理论中相当于超音速气流中用简单波理论(Simple Wave Theory)